

## ارزیابی توان هیدروکربن‌زاوی سازند پابده در جنوب باختری استان کرمانشاه (شهرستان گیلان‌غرب)

حسن محسنی<sup>۱\*</sup>، حمید منصوری<sup>۲</sup>، سعید خدابخش<sup>۱</sup> و محمود معماریانی<sup>۳</sup>

۱- گروه زمین‌شناسی، دانشکده علوم پایه، دانشگاه بوعلی سینا، همدان

۲- کارشناس ارشد رسوب‌شناسی و سنگ‌شناسی رسوبی، دانشگاه بوعلی سینا، همدان

۳- پژوهشکده علوم زمین، پژوهشگاه صنعت نفت، تهران

نویسنده مسئول: mohseni@basu.ac.ir

دریافت: ۹۴/۱۲/۲ پذیرش: ۹۵/۲/۱

### چکیده

سازند پابده به سن پالتوسون پسین تا اولیگوسن پیشین در حوضه رسوی زاگرس نهشته شده است. بخش قابل توجهی از توالی این سازند در شهرستان گیلان‌غرب را رخساره‌های ریز دانه شیلی (با رنگ خاکستری تیره و ارغوانی) تشکیل می‌دهد. از آنجا که این رخساره‌ها در محیط رسوی حاشیه‌های قاره‌ای تا ژرف ابیashته شده‌اند، احتمال وجود مقدار قابل ملاحظه‌ای ماده آلی در آن وجود دارد. به منظور ارزیابی توان هیدروکربورزاوی و ژئوشیمی آلی سازند پابده در منطقه غرب کرمانشاه (شهرستان گیلان‌غرب) در یک برش سطحی در پیرامون روستای سرحال شیرزادی مورد بررسی قرار گرفت و از لایه‌های شیلی نمونه‌برداری انجام شد. تعداد ۱۲ نمونه به وسیله دستگاه پیرولیز راک‌ایول ۳ مورد بررسی قرار گرفت. با توجه به مقدار میانگین کل کربن آلی (۱/۲٪) پتانسیل هیدروکربن‌زاوی سازند پابده در این منطقه ضعیف می‌باشد. داده‌ها بیانگر آن است که تلفیقی از کروزن‌های نوع I، II و III در این نمونه‌ها وجود دارد اما کروزن نوع II ارغوانی بیشتری دارد. به نظر می‌رسد علت اصلی فراوانی این نوع کروزن در سازند پابده ناشی از چیرگی رخساره‌های دریایی تشکیل‌دهنده این سازند می‌باشد. بیشتر نمونه‌های سازند پابده از نظر  $R_0$  در محدوده ۰/۰ تا ۱/۳۵ قرار دارند که بیانگر ورود سازند پابده در این منطقه به پنجره نفتی می‌باشد. جایگاه این نمونه‌ها در نمودار شاخص هیدروزن (Tmax) به (Tmax) نشان می‌دهد که سازند پابده به عنوان سنگ‌های منشأ احتمالی با رسیدن به مرحله کاتانز (Tmax بالاتر از ۴۳۵ درجه سانتی‌گراد) توانسته‌اند مسیر بلوغ حرارتی را طی نمایند. با توجه به شاخص تولید (PI) نمونه‌های سازند پابده، Tmax به دست آمده رسیدگی واقعی این سازند را نشان نمی‌دهد. مقدار Tmax و PI بدست آمده از داده‌های راک‌ایول نشان‌دهنده این است که فقط یکی از نمونه‌ها در ابتدای پنجره نفتی می‌باشد. رخساره‌های آلی این سازند عمدها نشانگر رسوبات فلات قاره و شب قاره بوده که احتمالاً در حاشیه‌های قاره‌ای تهشیش شده‌اند.

### واژه‌های کلیدی: راک‌ایول، کروزن، سازند پابده، پتانسیل هیدروکربن‌زاوی

باقیمانده نمونه و تحول حرارتی ماده آلی می‌دهد [۱۵].

پژوهش‌های گوناگون بر روی سازند پابده بیشتر به منطقه فروافتادگی دزفول متمرکز بوده است. زیرا بیشتر منابع هیدروکربن زاگرس در این ناحیه به تله افتاده و افزون بر آن، رسیدن اغلب سنگ‌های منشاء به پنجره نفت‌زاوی در این ناحیه بسیار بهتر از دیگر نواحی است. با این همه، گسترش سازند پابده در مناطق دیگر حوضه زاگرس و وجود مواد آلی در رخمنون‌های این سازند نشان می‌دهد که احتمالاً سازند پابده می‌تواند به عنوان هدف اکتشافی سنگ منشاء در مناطق بیرون از فروافتادگی دزفول مورد بررسی قرار گیرد. بدین منظور یک برش از رخمنون‌های سازند پابده در منطقه گیلان‌غرب مورد

### مقدمه

یکی از ارکان اصلی هر سامانه نفتی، سنگ منشأ است. بنابراین شناسایی سنگ منشا و وضعیت آن در هر سامانه‌ای ضروری است. درک این مطلب نه تنها مانع از انجام حفاری در نواحی بدون پتانسیل هیدروکربن می‌شود، بلکه از ائتلاف سرمایه نیز جلوگیری می‌کند. در این مطالعه سعی شده است به تعبیر و تفسیر پتانسیل هیدروکربنی سازند پابده در منطقه گیلان‌غرب پرداخته شود. پیرولیز راک-ایول ساده‌ترین و سریع‌ترین روشی است که برای ارزیابی هیدروکربن‌زاوی سنگ‌های منشا به کار می‌رود. همچنین پیرولیز راک-ایول اطلاعات مفیدی در مورد مقدار ماده آلی، نوع و کیفیت ماده آلی، پتانسیل

سازند را در رتبه ضعیف<sup>۲</sup> قرار داده‌اند. موسوی و همکاران [۶] نهشته شدن سازند پابده را به دلیل داشتن مقادیر بالایی TOC، HI و OI مربوط به شرایط احیایی می‌دانند و همچنین عمدۀ کروزن‌های سازند پابده را کروزن تیپ II/III معرفی نمودند. هدف از پژوهش حاضر بررسی ژئوشیمیایی سازند پابده در رخنمون آن در ناحیه گیلان‌غرب است.

منطقه مورد مطالعه در جنوب باختری استان کرمانشاه قرار دارد (شکل ۱). یک برش سطحی کامل از رخنمون‌های سازند پابده در شهرستان گیلان‌غرب (کوه زرد) انتخاب و مورد نمونه‌برداری و مطالعه قرار گرفت. این برش در سمت خاوری روستای سرجال شیرزادی و به فاصله ۱۰ کیلومتری جنوب باختری شهر گیلان‌غرب در طول ۴۵ درجه و عرض ۵۶ دقیقه خاوری و درجه ۳۴ درجه و ۳۵ دقیقه شمالی قرار دارد. هدف از انجام این مطالعه، بررسی و ارزیابی وضعیت پتانسیل سنگ‌منشاء احتمالی سازند پابده با استفاده از پارامترهای ژئوشیمیایی می‌باشد.

#### زمین‌شناسی منطقه مورد مطالعه

فالکن [۱۳] زاگرس را از شمال به جنوب به سه زون ساختمانی پیچیده همراه با سنگ‌های دگرگونی، تراست‌های هم‌آغوشی و کمریند ساده چین‌خورده تقسیم نمود. بر بریان [۹] بر پایه انباسته‌های نمکی سری هرمز، زاگرس را به دو بخش جنوب خاوری، یا (حوضه هرمز) و بخش شمال باختری یا (حوضه اهواز) تقسیم نمود که مرز جدایی این دو، منطبق بر خطواره قطر- کازرون است. اشتوكلین [۲۲] ایران را به چند حوزه رسوبی- ساختاری تقسیم نمود. وی حوضه رسوبی زاگرس را به سه بخش زون زاگرس رانده، زون زاگرس چین‌خورده و دشت خوزستان تقسیم کرده است. همه ارتفاعات واقع در بخش جنوب باختری استان کرمانشاه را می‌توان مربوط به گستره زاگرس چین‌خورده دانست. مهم‌ترین سازندهای که در برش کوه کور زرد رخنمون دارند شامل سازندهای امیران، تلهزنگ، پابده، آسماری و گچساران می‌باشد [۱۷]. سن این سازندها از کرتاسه تا میوسن می‌باشد (شکل ۲). سازند پابده در این برش ۵۶۵ ضخامت دارد که تلاش گردید از لایه‌های شیلی تیره نمونه‌برداری شود. هر چند نمونه‌های سطحی برای بررسی‌های ژئوشیمی آلی

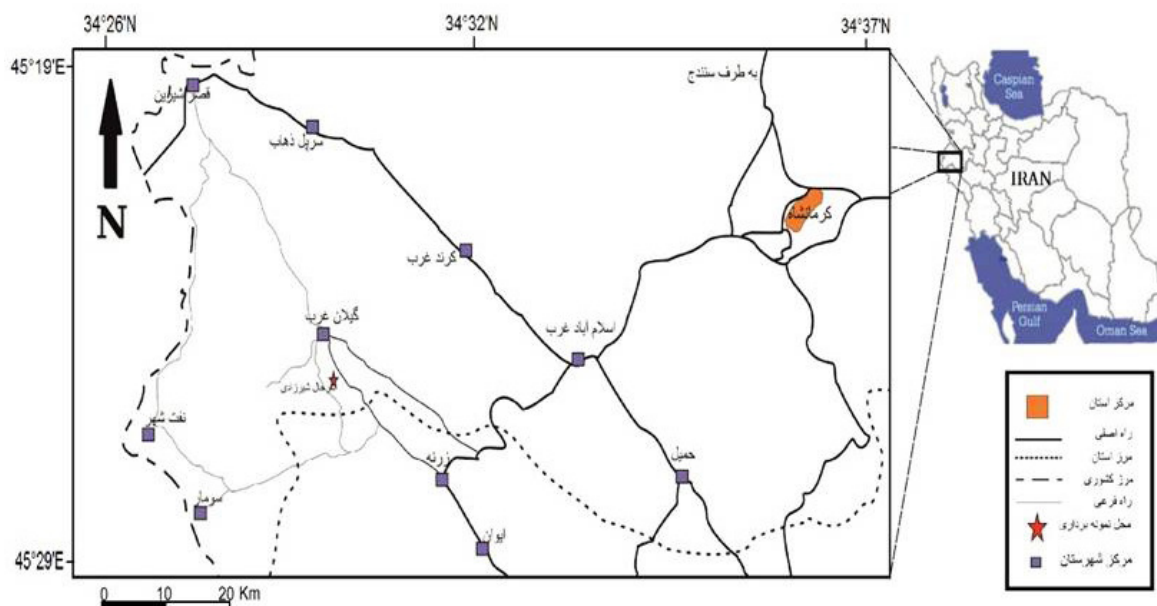
بررسی و نمونه‌برداری قرار گرفت. علاوه بر دیگران [۷] مطالعاتی را بر روی مارن‌های سازند گوری و پابده انجام داده و مشخص کردند که این دو سازند در برخی نقاط به بلوغ حرارتی لازم رسیده‌اند. البته مطالعات بارندف و باروود [۱۰] قسمت عمده لیتولوژی سازند پابده را کربناته معرفی کردند. آن‌ها افق‌های خاصی از سازند پابده را دارای خواص سنگ منشأ توصیف کرده و معتقدند که همه قسمت‌های پابده دارای ماده آلی کافی به عنوان یک سنگ منشأ نیست. همچنین آن‌ها کروزن آن را تیپ II میزان کربن آلی سازند پابده بین ۱ الی ۱۲ درصد وزنی و میزان C<sup>13</sup> نمونه‌های کروزن این سازند را بین ۲۴% - ۲۶% تا ۲۶% - گزارش کرده‌اند. بارندف و هاک [۱۱] سازند پابده به همراه سازند گوری را متشکل از رسوبات دانه ریز کربناته و آواری حاوی میکرو فسیل‌های پلاتنونیک معرفی کرده‌اند و حتی در برخی نقاط حوضه رسوبی زاگرس این دو سازند را به عنوان سنگ منشأ توصیف نموده‌اند. اشکان [۱۲] سازند پابده را متعلق به حوضه رسوبی دریایی غیر اکسید<sup>۱</sup> معرفی کرده است که دارای مواد آلی نسبتاً بالایی ( $\text{TOC} = 6\%$ ) بوده و منشاء اصلی مواد آلی دریایی (کروزن Type II) همراه با مواد آلی خشکی (کروزن Type III) است. همچنین سازند پابده را در حوضه زاگرس یک سنگ منشاء با پتانسیل خوب دانسته که این سازند از نظر میزان کربن آلی (TOC) غنی بوده و در بخش شمالی خوزستان، فرو افتادگی دزفول به مرحله نفت‌زایی رسیده است. براساس مطالعات محسنی و دیگران [۲۰] بر روی سازند پابده در غرب حوضه زاگرس، مشخص شد که این سازند در قسمت پایینی و میانی شامل کروزن تیپ I و II می‌باشد؛ و قسمت‌های بالایی دارای کروزن تیپ III می‌باشد که مقدار بالایی از TOC (٪ ۲/۵) را نیز نشان می‌دهد. علیزاده و همکاران [۲۱] با مدل‌سازی بلوغ حرارتی در میدان نفتی رگ سفید نشان دادند که سازند پابده از لحاظ مقدار ماده آلی در محدوده متوسط تا عالی قرار گرفته ولی به نفت‌زایی نرسیده است. براساس مطالعات بهبهانی و همکاران [۲] بیشتر نمونه‌های سازند پابده (نمونه‌های سطحی از ناحیه ایلام) در مرحله بالغ (تولید نفت) هستند، ولی به دلیل نبود شرایط برای حفظ ماده آلی در مقیاس انبوه توان هیدرورکربن‌زایی این

<sup>2</sup> poor

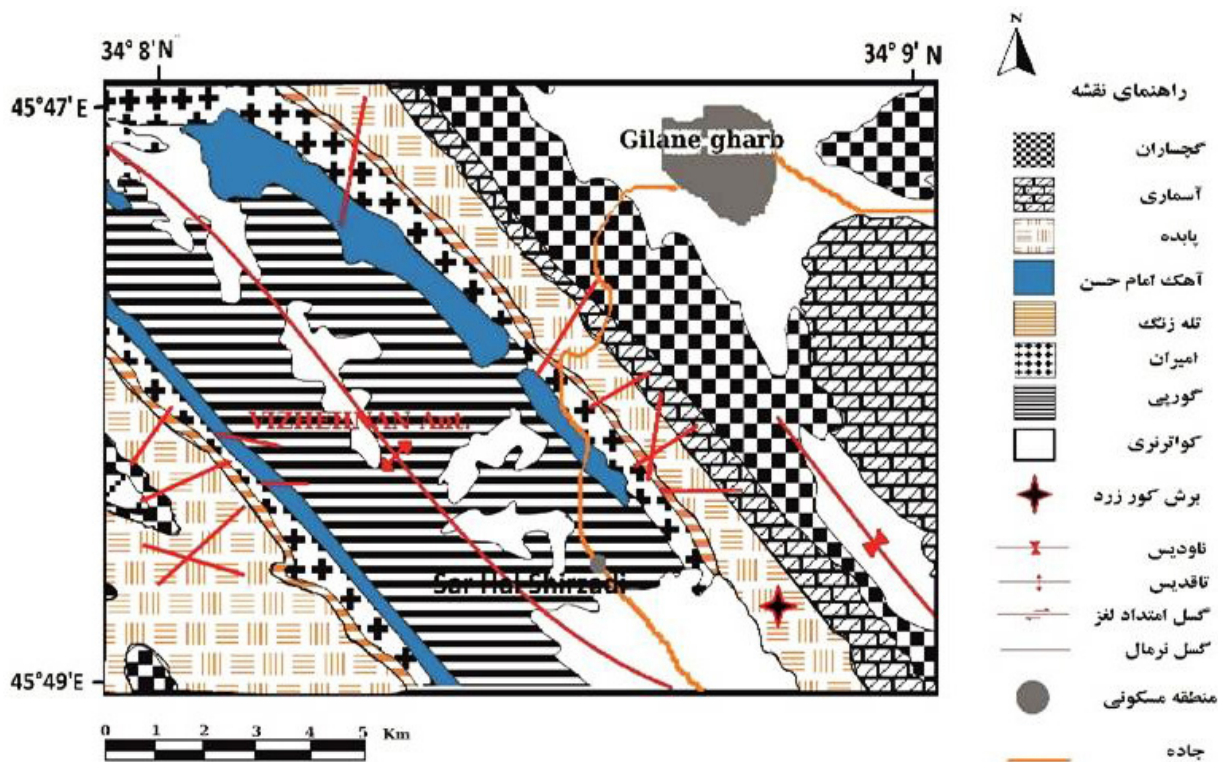
<sup>1</sup> anoxic

با کنار زدن لایه‌های سطحی تا حد ممکن نمونه‌ای تازه‌تر گردآوری گردد.

چندان دلخواه نیستند، اما روش شناخته شده‌ای است که برای ژئوشیمی آلی به کار می‌رود. البته تلاش گردید که



شکل ۱. موقعیت جغرافیایی و راه‌های دسترسی به منطقه مورد مطالعه

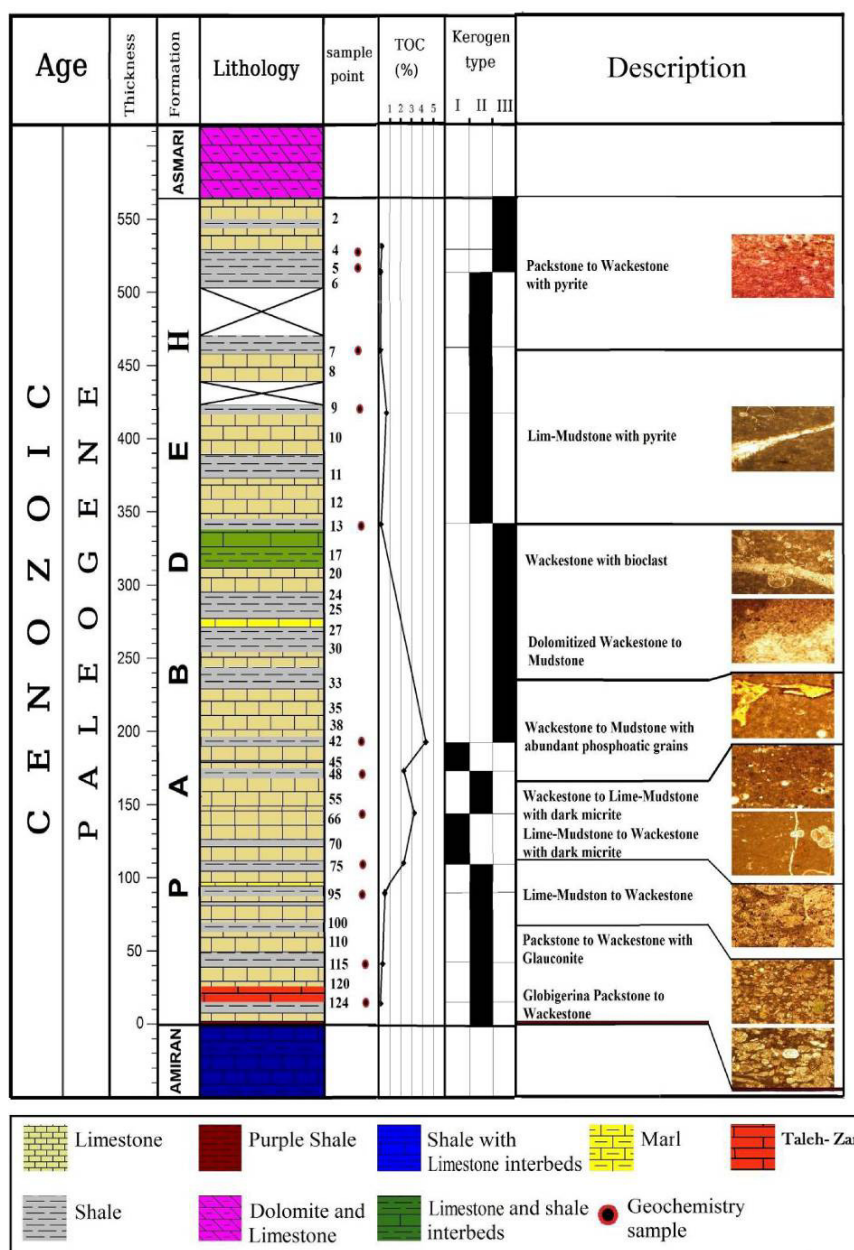


شکل ۲. نقشه زمین‌شناسی منطقه مورد مطالعه (برگرفته از [۱۲]، با اندکی تغییر)

در پژوهشگاه صنعت نفت آنالیز شدند (جدول ۱). سپس پارامترهای ژئوشیمیایی  $S_1$  (مقدار هیدروکربن آزاد)،  $S_2$  (توان هیدروکربن‌زاویه)،  $S_3$  (مقدار  $CO_2$  موجود در کروزن TOC) که در اثر شکست حرارتی از نمونه تولید می‌گردد،  $T_{max}$  (مقدار کل کربن آلی موجود در نمونه)، شاخص هیدروژن  $HI$  ( $S_2/TOC$ )، شاخص اکسیژن  $OI$  ( $S_3/TOC$ ) و شاخص پتانسیل هیدروکربن‌زاویه  $PI$  ( $S_1/S_1+S_2$ ) محاسبه و مورد تجزیه و تحلیل قرار گرفت (جدول ۱).

## مواد و روش‌ها

پس از انجام بررسی‌های صحرایی از رخنمون سازند پابده در منطقه گیلان‌غرب بر پایه تغییرات سنگ‌شناسی و عمود بر امتداد طبقات، از ژرفای ۴۰ تا ۵۰ سانتی‌متری زیر سطح رخنمون نمونه‌برداری صورت گرفت. از بین نمونه‌های برداشت شده (۳۰ نمونه)، تعداد ۱۲ نمونه شیلی به ویژه از لایه‌های شیلی تیره‌رنگ، که رنگ تیره‌تری نسبت به بقیه نمونه‌ها داشتند (شکل ۳)، انتخاب و به وسیله آسیاب پودر شدند. مقدار ۵۰ تا ۱۰۰ میلی‌گرم از پودر نمونه‌ها با دستگاه پیرولیز راک‌ایول ۳



شکل ۳. ستون چینه‌شناسی و نقاط نمونه‌برداری در منطقه مورد مطالعه

جدول ۱. داده‌های بدست آمده از دستگاه پیرولیز راکایول بر روی نمونه‌های سازند پابده

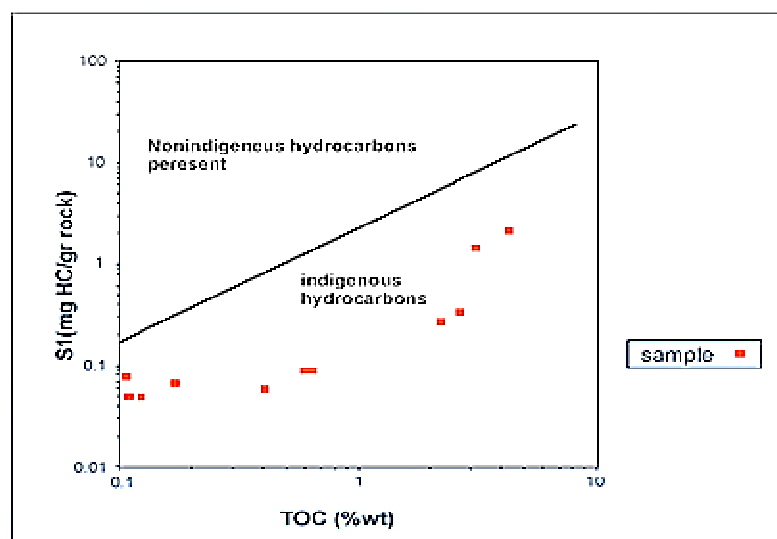
Sample No.	S1	S2	S3	Tmax	HI	OI CO <sub>2</sub>	TPI	PC	RC	TOC
4	0.07	0.22	0.34	429	129	200	0.24	0.02	0.15	0.17
5	0.05	0.07	0.2	426	60	182	0.43	0.01	0.1	0.11
7	0.08	0.13	0.22	440	130	220	0.38	0.02	0.08	0.1
9	0.09	1.5	0.42	435	234	66	0.06	0.13	0.51	0.64
13	0.04	0.03	0.26	432	40	325	0.55	0.01	0.07	0.08
42	2.16	28.93	0.49	431	670	11	0.07	2.58	1.74	4.32
48	0.27	8.72	1.01	435	400	46	0.03	0.75	1.43	2.18
66	1.46	2	0.45	431	639	14	0.07	1.78	1.35	3.13
75	0.33	0.83	1.29	429	364	48	0.03	0.84	1.86	2.7
95	0.09	1.86	0.32	437	321	55	0.05	0.16	0.42	0.58
115	0.06	1.03	0.28	439	251	68	0.06	0.09	0.32	0.41
124	0.05	0.18	0.1	474	150	83	0.22	0.02	0.1	0.12

منحنی تغییرات  $S_1$  در برابر TOC استفاده می‌شود. خط شیب‌دار در این نمودار خطی است که در تمامی نقاط آن نسبت  $S_1/TOC$  برابر با  $1/5$  می‌باشد، مقادیر بالای این خط نشان‌دهنده هیدروکربن‌های نابرجا (مهاجرت یافته و آلوده)، و مقادیر پایین این خط نشانه هیدروکربن‌های آلوده است [۱۵]. همان‌طور که در شکل (۴) نشان داده شده است، تمام نمونه‌های برداشت شده زیر خط آلودگی قرار گرفته‌اند. از همین‌رو احتمال آغشتگی و یا آلودگی در این نمونه‌ها دیده نمی‌شود، بهویژه آنکه این نمونه‌ها از رخنمون برداشت شده‌اند.

### نتایج و بحث

در این مطالعه سنگ منشاء احتمالی سازند پابده در سه بخش تعیین کمیت، کیفیت و بلوغ ماده آلی مورد بررسی قرار گرفته است. علاوه بر این‌ها، تا حدودی تعیین رخساره‌های زیستی، محیط رسوبی سنگ و شاخص تولید صورت گرفته است.

قبل از بیان ویژگی‌های مواد آلی در مطالعات ژئوشیمیابی اطمینان از آلودگی و یا آغشتگی نمونه‌ها بسیار ضروری می‌باشد، چرا که آلودگی نمونه‌ها، نتایج حاصل از پیرولیز راکایول را تحت تاثیر قرار می‌دهند. بدین منظور از



شکل ۴. نمودار  $S_1/TOC$  هیدروکربن‌های مهاجرت یافته را از هیدروکربن‌های برجا تفکیک می‌کند (اقتباس از هانت [۱۵]).

آلی فقیر بوده و به عنوان یک سنگ مولد ضعیف طبقه‌بندی می‌گردد. همان‌طور که مشخص است  $83/3$  درصد نمونه‌ها دارای  $S_1$  برابر صفر تا  $0/5$  میلی‌گرم هیدروکربن بر گرم سنگ هستند که نشان‌دهنده عدم تولید هیدروکربن می‌باشد. همچنین  $83/3$  درصد از نمونه‌ها  $S_2$  برابر صفر تا  $2/5$  میلی‌گرم هیدروکربن در هر گرم سنگ را دارا بوده است. این وضعیت نشان می‌دهد که سازند پابده پتانسیل هیدروکربن‌زاوی پایینی دارد. از طرف دیگر  $75$  درصد نمونه‌ها فراوانی مجموع پارامترهای  $S_1 + S_2$  از صفر تا  $3$  میلی‌گرم هیدروکربن در هر گرم سنگ را نشان می‌دهند که بیانگر عدم زایش مناسب سنگ را نشان می‌دهند که بیانگر عدم زایش مناسب (قرار داشتن مواد آلی در انتهای مرحله دیاژنز و آغاز زایش نفت) و پایین بودن پتانسیل باقی‌مانده در کروزن این سازند می‌باشد. حداقل و حداکثر کل کربن آلی (TOC)  $0/1$  تا  $4/32$  درصد می‌باشد که از نقطه نظر ژئوشیمیایی سازند پابده یک سنگ مادر فقیر و ضعیف بشمار می‌آید. از آنجایی که این نمونه از رخنمون‌ها برداشت شده‌اند، بنابراین لایه‌های مختلف این سازند در اعمق پایین ( $1800$  تا  $2600$  متری) در ناحیه مطمئناً در مراحل پیشرفتی بلوغ (مرحله کاتاژنز) و زایش اصلی نفت قرار خواهد داشت.

### کمیت ماده آلی

مقدار ماده آلی، تحت عنوان کل کربن آلی (TOC) بیان می‌شود. رسوبی قادر به تولید نفت و گاز است که حداقل کربن آلی (TOC) معینی داشته باشد و این مقدار با توجه به نوع سنگ منشاء متفاوت است. برای ارزیابی سازند پابده در آغاز مقادیر  $S_1$  و  $S_2$  حاصل از پپرولیز راک-ایول نمونه‌ها با مقادیر استاندارد مورد ارزیابی قرار گرفت. پیترز در سال  $1986$  سنگ منشا را بر اساس شاخص‌های میزان محتوی کل کربن آلی (TOC)، پیک  $S_1$  و  $S_2$  تقسیم‌بندی کرد. سنگ منشا احتمالی این منطقه براساس تقسیم‌بندی پیترز [۲۱] مورد ارزیابی قرار گرفت که نتایج این ارزیابی در جدول (۲) آمده است. بر طبق جدول ۲ مقدار TOC در قسمت‌هایی از بخش‌های میانی سازند و نمونه‌های شماره  $48$ ،  $42$ ،  $66$  و  $75$  بسیار خوب (٪ $33$ ) و نمونه‌های شماره  $9$  و  $95$  نیز وضع مناسبی نشان می‌دهند (٪ $6/16$ ) و بقیه نمونه‌ها میزان کمتر از  $0/5$  درصد را نشان می‌دهند (٪ $40/5$ ) و پتانسیل ضعیفی از توان تولید هیدروکربن را نشان می‌دهند که مقدار ماده آلی آن‌ها به قدری کم است که قادر به خارج شدن از سنگ منشا نمی‌باشند. با توجه به این نتایج جدول (۳) می‌توان گفت که سازند پابده از لحاظ مواد

جدول ۲. تقسیم‌بندی سنگ‌های منشأ هیدروکربنی بر اساس توان تولید هیدروکربن [۲۱]

$S_1 + S_2$ (mg HC/g rock)	$S_2$ (mg HC/g rock)	$S_1$ (mg HC/g rock)	TOC (Wt%)	توان تولید هیدروکربن
۰ - ۳	۰ - ۲/۵	۰ - ۰/۵	۰/۰ - ۰/۵	ضعیف
۳ - ۶	۲/۵ - ۵	۰/۵ - ۱	۰/۵ - ۱	مناسب
۶ - ۱۲	۵ - ۱۰	۱ - ۲	۱ - ۲	خوب
بیشتر از $12$	بیشتر از $10$	بیشتر از $2$	بیشتر از $2$	بسیار خوب

جدول ۳. نتایج بدست آمده براساس تقسیم‌ندي سنگ‌های منشأ هیدروکربنی براساس محتوی توان تولید هیدروکربن (براساس معیار پیترز [۲۱])

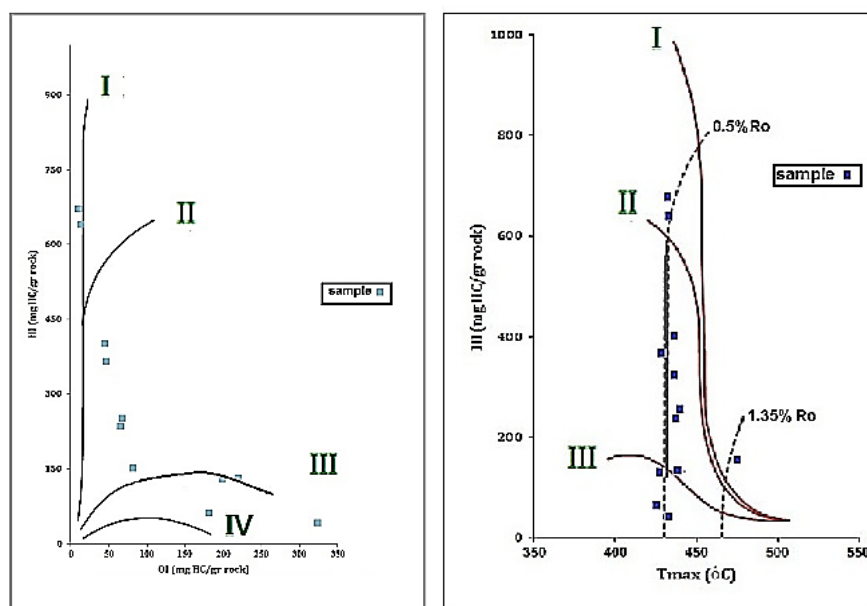
ارزیابی براساس $S_1 + S_2$	مقدار $S_1 + S_2$	ارزیابی براساس $S_2$	مقدار $S_2$	ارزیابی براساس $S_1$	مقدار $S_1$	ارزیابی براساس TOC	مقدار TOC	مقدار شماره نمونه
ضعیف	۰/۲۹	ضعیف	۰/۲۲	ضعیف	۰/۰۷	ضعیف	۰/۱۷	۴
ضعیف	۰/۱۲	ضعیف	۰/۰۷	ضعیف	۰/۰۵	ضعیف	۰/۱۱	۵
ضعیف	۰/۲۱	ضعیف	۰/۱۳	ضعیف	۰/۰۸	ضعیف	۰/۱	۷
ضعیف	۱/۵۹	ضعیف	۱/۵	ضعیف	۰/۰۹	مناسب	۰/۶۴	۹
ضعیف	۰/۰۷	ضعیف	۰/۰۳	ضعیف	۰/۰۴	ضعیف	۰/۰۸	۱۳
مناسب	۵/۰۹	مناسب	۲/۹۳	بسیار خوب	۲/۱۶	بسیار خوب	۴/۳۲	۴۲
خوب	۸/۹۹	خوب	۸/۷۲	ضعیف	۰/۲۷	بسیار خوب	۲/۱۸	۴۸
مناسب	۳/۴۶	ضعیف	۲	خوب	۰/۴۶	بسیار خوب	۳/۱۳	۶۶
ضعیف	۱/۱۶	ضعیف	۰/۰۸۳	ضعیف	۰/۰۳	بسیار خوب	۲/۷	۷۵
ضعیف	۱/۹۵	ضعیف	۱/۰۸۶	ضعیف	۰/۰۹	مناسب	۰/۵۸	۹۵
ضعیف	۱/۰۹	ضعیف	۱/۰۳	ضعیف	۰/۰۶	ضعیف	۰/۴۱	۱۱۵
ضعیف	۰/۲۳	ضعیف	۰/۱۸	ضعیف	۰/۰۵	ضعیف	۰/۱۲	۱۲۴

$R_o$  یا ضریب انعکاس نور ویترینیت نیز در محدوده ۰/۵ تا ۱/۳۵ قرار دارند که بیانگر ورود برخی از نمونه‌های سازند پابده در این منطقه به پنجره نفتی است. روش دیگر تعیین نوع کروزن استفاده از نمودار S2 در مقابله TOC است [۱۹]. در شکل ۶ خطوط منقطع به عنوان مرزهای بین انواع کروزن‌های I و II و نیز کروزن‌های II و III در دیاگرام S2 در برابر TOC می‌باشد. نمونه‌های سازند مورد مطالعه بر روی این دیاگرام در محدوده‌ای وسیع (I و III) قرار گرفته‌اند. اما تیپ اصلی کروزن آن‌ها، از نوع II می‌باشد (شکل‌های ۵ و ۶). بیشترین نوع کروزن نمونه‌های مطالعه شده، کروزن نوع II با فراوانی ۵۸ درصد است. کروزن نوع I دارای فراوانی ۲۵ درصد است (شکل ۷). البته نمی‌توان در مورد نوع کروزن‌ها اظهار نظر قطعی نمود و بدین منظور انجام مطالعات میکروسکوپی نور بازتابی بر روی ماسوالهای کروزن به ویژه ویترینیت و میزان رسیدگی آن‌ها، ضروری به نظر می‌رسد. نتایج به دست آمده با نتایج مطالعات بهبهانی و دیگران [۲] بر روی نمونه‌های سازند پابده در زون زاگرس چین خورده (منطقه ایلام و اسلام آباد غرب) همخوانی دارد. آن‌ها بیشتر تیپ کروزن این منطقه را مخلوطی از کروزن‌های تیپ III-II و II با برتری تیپ II گزارش نمودند.

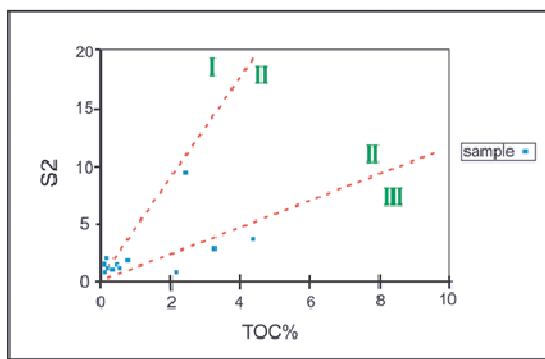
### کیفیت ماده آلی

برای پی‌بردن به نوع کروزن می‌توان از نمودار تغییرات HI (شاخص هیدروزن) در برابر OI (شاخص اکسیژن) که به نوعی می‌شود آن را دیاگرام ون کرونن تصحیح شده قلمداد نمود که یکی از راههای تعیین درجه کیفیت مواد آلی و نیز تعیین نوع کروزن توسط دستگاه پیرولیز راک ایول، با استفاده از Tmax است [۱۵]. در نمودار تغییرات HI در برابر Tmax نوع کروزن و میزان بلوغ آن‌ها نمایش داده شده است (شکل ۵). کروزن این سازند از نوع II و III با اندکی نوع I تعیین گردید که کروزن نوع I و II نشان‌دهنده‌ی مواد آلی محیط دریایی تا دریایی باز بوده در حالی که نوع III معرف مواد آلی منشأ گرفته از محیط قاره‌ای است.

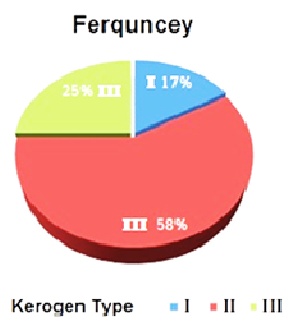
نوع کروزن نمونه‌ها در منطقه گیلان‌غرب غالباً تلفیقی از کروزن‌های نوع III، II، I می‌باشد. هرچند تعداد اندکی از نمونه با داشتن بیشترین میزان HI و TOC و HI بالا، کیفیت بسیار خوبی را نشان می‌دهند که بیانگر وجود مواد آلی با کروزن نوع I (به میزان کم) در بخش‌های میانی این سازند می‌باشد. این دیاگرام، تیپ کروزن‌ها را بیشتر از نوع II معرفی می‌نماید که به نظر می‌رسد که علت اصلی این فراوانی این نوع کروزن، این نکته باشد که سازند پابده بیشتر دارای رخساره دریایی می‌باشد. در شکل ۵ راست) می‌توان به روشنی دید که بیشتر نمونه‌ها از نظر



شکل ۵. نمودار تغییرات شاخص هیدروزن (HI) در برابر Tmax، جهت تعیین سطح پختگی مواد آلی و نوع کروزن (راست)، تفکیک انواع کروزن نمونه‌های مطالعه شده بر اساس نمودار تغییرات HI در برابر OI (چپ).



شکل ۶. تفکیک انواع کروزن نمونه‌های مطالعه شده بر اساس نمودار S2 در مقابل TOC که بیانگر نوع کروزن می‌باشد (اقتباس از لنگفورد و بلنک ولرون [۱۹]).



شکل ۷. نمودار فراوانی انواع کروزن سازند پابده در نمونه‌های مطالعه شده

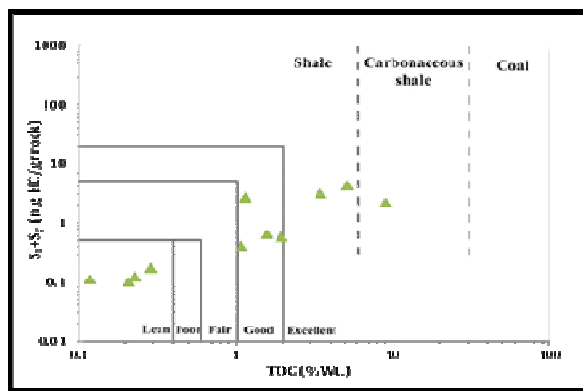
شرایط بهتری برای حفظ ماده آلی کل می‌باشد (شکل ۱۰).

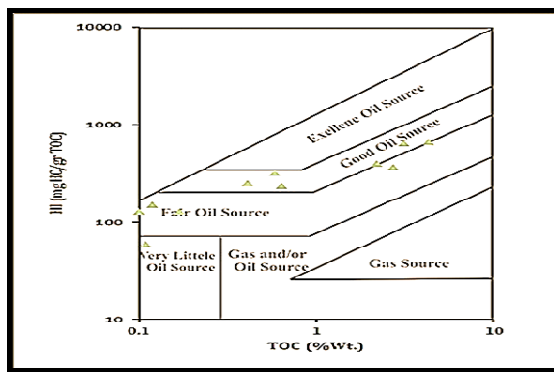
بر اساس مطالعات صورت‌گرفته توسط پیترز [۲۱]، در سنگ منشا‌ایی که HI آن‌ها بالای (۳۰۰ mgHC/g) می‌باشد، نفت تولید می‌شود، در سنگ‌هایی که مقدار HI آن‌ها بین ۳۰۰ تا ۱۵۰ می‌باشد، نفت و مقداری گاز تولید خواهد شد، سنگ‌هایی که مقدار HI آن‌ها بین ۵۰ تا ۱۵۰ می‌باشد، گاززا هستند و سنگ‌هایی با HI کمتر از ۵۰ خنثی و عقیم به شمار آمده و توان تولید هیدروکربن ندارند. حداقل HI در سنگ منشا‌های مستعد تولید نفت و مستعد تولید گاز بین ۱۵۰ تا ۲۵۰ است [۱۵]. بر این اساس و با توجه به جدول (۴) و شکل (۱۱) حدود ۴۱/۷ درصد نمونه‌ها توان تولید نفت جزئی دارند و ۲۵ درصد نمونه‌ها توان تولید نفت و گاز دارند. ۲۵ درصد نمونه‌ها گاززا و ۸/۳ درصد خنثی هستند، نکته‌ای که با وجود نوع کروزن غالب یعنی مخلوطی از کروزن‌های نوع II و III همخوانی دارد. با در نظر گرفتن مطالب بالا و همچنین بر اساس HI در مقابل TOC سنگ منشا سازند پابده در منطقه مورد مطالعه از نوع توانایی تولید گاز با اندکی نفت نسبتاً خوب ارزیابی می‌گردد.

#### توان پتانسیل هیدروکربن‌زایی

برای تعیین توان و پتانسیل هیدروکربن‌زایی سازند پابده از نمودار تغییرات S1+S2 در برابر TOC استفاده می‌گردد [۱۴] (شکل ۸). این نمودار برای نمونه‌های مورد مطالعه نشان می‌دهد که سازند پابده با داشتن مقادیر پائین و بالا از هر دو پارامتر فوق دارای پتانسیل ضعیف تا بسیار خوب است. این امر به احتمال زیاد به دلیل تعلق نمونه‌های بررسی شده به رخساره‌های متفاوت است [۵].

دیاگرام S2 در برابر TOC ابزاری بسیار مناسبی برای ارزیابی ویژگی‌های مواد آلی می‌باشد، یکی از کاربردهای این دیاگرام، تعیین پتانسیل نفتی واحدهای رسوبی است. خطوط افقی در مقادیر  $S2=5$  و  $S2=10$  در این دیاگرام (شکل ۹)، نشان می‌دهد که نمونه‌های سازند پابده دارای پتانسیل هیدروکربنی تقریباً ضعیفی است. به غیر از چهار تا از نمونه‌ها (۴۲، ۴۸، ۶۶ و ۷۵) که مقدار پتانسیل هیدروکربنی بهتری دارند که به ترتیب مقدار TOC آن‌ها برابر با ۴/۳۲، ۲/۱۸، ۳/۱۳ و ۲/۷ درصد وزنی است. این نمونه‌ها در متراز ۴۰۰ تا ۵۰۰ متری ستون چینه‌شناسی سازند پابده واقع شده و پتروگرافی این بخش مادستون با تناوب لایه‌های شیلی می‌باشد [۵] که به دلیل عمیق شدن حوضه و کاهش مقدار اکسیژن محیط و ایجاد





شکل ۱۱. نمودار HI در مقابل TOC برای تعیین نوع پتانسیل تولیدی (اقتباس از جکسون و همکاران [۱۶])

جدول ۴. پارامترهای زئوشیمیابی تعیین کننده نوع هیدروکربن تولید شده [۲۱]

Hydrocarbon	HI	Sample No.
Inactive	50<	13
Gas	50 – 150	4,5,7
Gas & Oil	150 – 300	9,115,124
Oil	300<	42,48,66,75,95

افت نسبی سطح آب دریا هستند (شکل ۱۳)، که نتایج شکل ۱۲ را تایید می‌کند و محدوده آب‌های بستر اکسیژن‌دار را نشان می‌دهد.

#### اثر ماتریکس

یکی دیگر از کاربردهای دیاگرام  $S_2$  در برابر TOC میزان جذب هیدروکربن توسط ماتریکس سنگ می‌باشد. مقدار هیدروکربن تولید شده از پیرولیز کل سنگ با کروزن رها شده از آن سنگ متفاوت است و این زمانی نمود دارد که مقدار ماده آلی آن نمونه کم باشد. از دلایل این اثر خمیره کانی است. پس از حرارت دادن نمونه هیدروکربن‌های سبک آزاد می‌شوند ولی هیدروکربن‌های سنگین‌تر در اثر جذب سطحی بر روی کانی‌ها، به خصوص کانی‌های رسی که از نظر جذب سطحی فعال هستند به تله می‌افتد. اثر خمیره کانی بر روی مقدار هیدروکربن سنگین آزاد شده در طی پیرولیز اثر دارد ولی اثر آن بر روی هیدروکربن‌های سبک بسیار کمتر است و موجب کاهش مقدار  $S_2$  و TOC می‌شود. اثر ماتریکس با قطع شدگی در جهت مثبت محور  $x$  در دیاگرام  $S_2$  در برابر TOC مشخص می‌شود و موقعیت این تقاطع، معیاری برای مقدار جذب شدگی است. همان‌گونه که در شکل (۱۴) مشاهده می‌شود، خط رگرسیون حاصل از

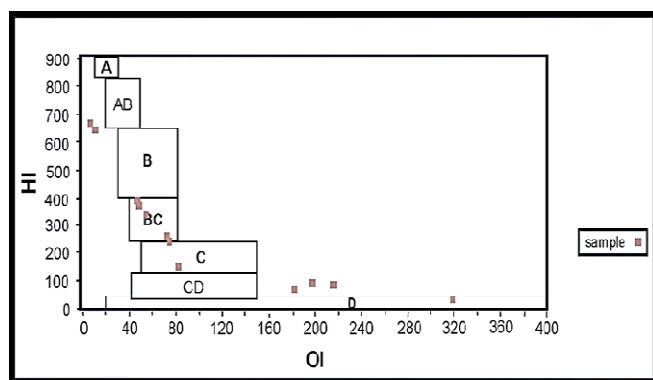
#### شرایط رسوبی و رخساره‌آلی

برای تعیین رخساره‌آلی از نمودار جونز [۱۸] استفاده شده است. در این نمودار براساس تغییرات مقادیر HI در برابر OI، محدوده رخساره‌ای سازند مورد مطالعه تعیین شده است (شکل ۱۲). جونز [۱۸] نشان داده است که رسوبات متعلق به رخساره‌های BC و C نشانگر رسوبات فلات قاره و شب قاره دوران مزوژوئیک و ترشیاری بوده که در حاشیه‌های قاره‌ای نهشته شده‌اند، در حالی که رسوبات مربوط به رخساره‌های CD در نواحی قاره‌ای رسوب‌گذاری نموده‌اند. همان‌طور که در شکل (۱۲) قابل مشاهده است، بیشتر نمونه‌های سازند پابده در این منطقه رخساره‌آلی BC و C را نشان می‌دهند که نمایانگر رسوب‌گذاری در محیط‌های رسوبات فلات قاره و شب قاره بوده در حاشیه‌های قاره‌ای با شرایط نسبتاً اکسیدان می‌باشند. هرچند رخساره‌های آلی دیگر نیز به میزان کمتر در میان نمونه‌ها به چشم می‌خورند.

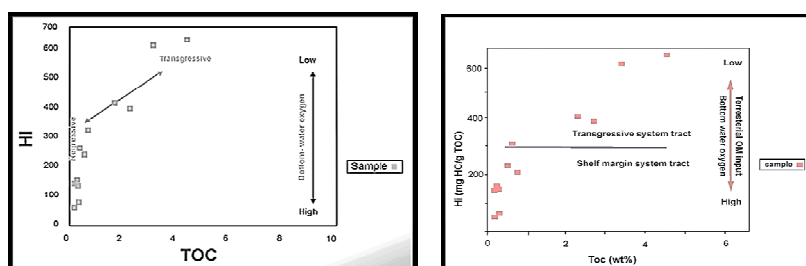
نمودار تغییرات HI در برابر TOC سازند پابده (شکل ۱۳) نشان داده است که با افزایش شاخص هیدروژن، مقدار کربن آلی نیز فزونی می‌یابد به طوری که رابطه‌ای مستقیم را با یکدیگر نشان می‌دهند (شکل ۱۳). این امر نشان‌دهنده حفظ شدن مواد آلی در شرایط اکسیدان است [۴]. بسیاری از نمونه‌های سازند پابده نشانه شرایط

هیدروکربن را جذب نموده‌اند. می‌توان گفت با توجه به اینکه غالب سنگ‌های منشاء حوضه رسوی زاگرس، دارای عمدتاً ماتریکس کربناته می‌باشند، نمی‌توان انتظار داشت که ماتریکس سنگ بتواند مقدار قابل توجهی هیدروکربن جذب نماید و اصولاً مقدار جذب هیدروکربن توسط ماتریکس‌های کربناته در مقایسه با ماتریکس‌های رسی بسیار کمتر می‌باشد [۳].

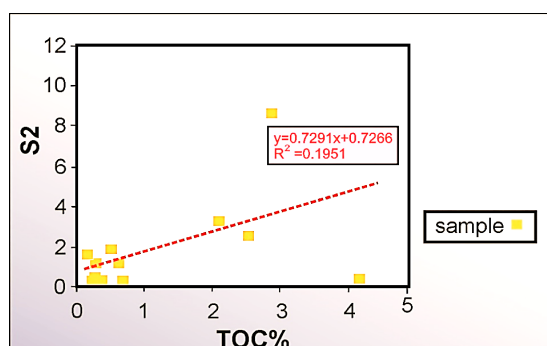
نمونه‌های این سازند را در جهت منفی آن قطع می‌کنند (X)، این امر به دلیل پایین بودن کیفیت نمونه‌ها از لحاظ غنای مواد آلی (پایین بودن میانگین  $S_2$ ) بوده و شبک خط رگرسیون نیز ایده‌آل نمی‌باشد. زیرا خط رگرسیون حاصل از آن، منحنی TOC را در جهت منفی قطع می‌کند، که با توجه به مقدار آن می‌توان گفت که ماتریکس موجود در این نمونه‌ها به مقدار قابل توجهی



شکل ۱۲. نمودار تعیین رخساره آلی با استفاده از نسبت تغییرات HI در برابر OI. ویژگی‌های محدوده‌های مشخص شده عبارتند از: =A= محیط دریاچه‌ای شدیداً احیایی، =AB= محیط‌های دریایی پیشرونده احیایی، =B= محیط‌های دریایی یا دریاچه‌ای نسبتاً احیایی، =C= محیط‌های دارای مواد آلی دریایی و قاره‌ای و رسوبگذاری سریع در شرایط نسبتاً اکسیدان، =D= محیط‌هایی با سرعت رسوبگذاری متوسط در شرایط احیایی، =CD= محیط‌های عمیق در مجاورت نقاط کوه‌زایی، =D= محیط‌های قاره‌ای شدیداً اکسیدان [۱۸].



شکل ۱۳. نمودار تغییرات ماده آلی (TOC) در برابر شاخص هیدروژن (HI) در سازند پابده به منظور تعیین شرایط محیط رسوب‌گذاری آن‌ها.



شکل ۱۴. نمودار  $S_2$  در برابر TOC که نشان می‌دهد نمونه‌های سازند پابده تحت تاثیر جذب از سوی ماتریکس بوده‌اند.

نوای ایشان مایه سپاس فراوان است. از آقای مرتضی حسن‌زاده نعمتی برای کمک در نمونه‌برداری قدردانی می‌گردد. نظرات سودمند و نقد دقیق و موشکافی داوران سبب رفع کاستی‌ها و بهبود کیفیت علمی مقاله گردیده است.

#### منابع

- [۱] اشکان، م (۱۳۸۳) اصول مطالعات ژئوشیمیایی سنگ منشاء هیدروکربوری و نفت‌ها، انتشارات روابط عمومی شرکت ملی نفت ایران، ۳۵۵ ص.
- [۲] بهبهانی، ر، لک، ر، خدابخش، س، محسنی، ح، آتش‌مرد، ز، و معینی، م (۱۳۸۹) تعیین سیستم تراکت، نوع کروزن و پتانسیل هیدروکربن‌زاوی با استفاده از شاخص‌های راک اول (مثال‌هایی از سازند پابده، زیر زون رزن - آبگرم و رسوبات بستر خلیج فارس)، مجله پژوهش‌های چینه‌نگاری و رسوب‌شناسی، شماره ۳۸، ص ۱۲۱-۱۴۴.
- [۳] حسینی، ح، علیزاده، ب، قلاوند، ه (۱۳۸۵) تعیین میزان جذب هیدروکربن توسط کانی‌های رسی موجود در ماتریکس سنگ منشاء، سازند سرگلو، میدان نفتی مسجد سلیمان. چهاردهمین همایش کانی‌شناسی و بلورشناسی ایران، ۱۳ و ۱۲ بهمن ماه ۱۳۸۵ دانشگاه بیرجند.
- [۴] علیزاده، ب، و جانیار، م (۱۳۸۸) مدل‌سازی بلوغ حرارتی در میدان نفتی رگ سفید-جنوب‌غرب ایران، "مجله علوم دانشگاه تهران، جلد ۳۵، شماره ۴، ص ۱۱۹-۱۲۹.
- [۵] منصوری، ح (۱۳۹۴) بررسی محیط رسوبی، ژئوشیمی آلی و دیاژنز سازند پابده در شهرستان گیلان‌غرب، پایان‌نامه کارشناسی ارشد، دانشکده علوم پایه دانشگاه بوعالی سینا همدان، ۱۰۶ ص.
- [۶] موسوی، م، ح، عبدالزاده، س، کمالی، م، ر، شایسته، م، احمدی، ا، کعبی مفرد، ا (۱۳۹۱) ژئوشیمی آلی سنگ‌های منشاء کرتاسه بالایی (سازند گوری) و پالئوزن (سازند پابده) در میدان نفتی پر سیاه، شمال باختری ایذه، مجله پژوهش‌های چینه‌نگاری و رسوب‌شناسی، شماره ۴۹، ص ۱-۲۴.
- [۷] Ala, M.A., Kinghorn, R.R.F., and Rahman, M (1980) Organic geochemistry and source rock characteristics of the Zagros petroleum province, South West Iran, JPG, V. 3 ( 1), p. 61-89.

#### نتیجه‌گیری

- مقدار کل کربن آلی (TOC) در بخش‌های میانی سازند پابده در این منطقه پتانسیل قابل قبولی را نشان می‌دهد.  
- سازند پابده با مقدار کل کربن آلی (TOC) بین ۰/۱۲ درصد تا ۴/۳۲ درصد دارای پتانسیل ضعیف تا بسیار خوب است، این امر به احتمال زیاد به دلیل متغیر بودن شرایط محیط رسوب‌گذاری در زمان نهشته شدن این سازند است.

- انواع کروزن در این منطقه تلفیقی از کروزن‌های نوع II و III با تمایل بیشتر به کروزن نوع II است. علت اصلی فراوانی این نوع کروزن در سازند پابده ناشی از چیرگی رخساره‌های دریایی تشکیل دهنده این سازند می‌باشد.

- بیشتر نمونه‌های سازند پابده از نظر میزان Ro (ماسال ویترینت) یا ضریب انعکاسی نور نیز در محدوده ۰/۵ تا ۱/۳۵ قرار دارند که بیانگر ورود اندکی از نمونه‌های سازند پابده در این منطقه به پنجره نفتی است.

- براساس تغییرات مقادیر HI در برابر OI، محدوده BC و C نشانگر شرایط نهشتگی احتمالی کمی اکسیدان بوده که ممید قرارگیری این بخش از حوضه رسوبی در ناحیه فلات قاره و شب قاره می‌باشد. فراوانی کروزن II و تا حدی تیپ III دلیل قابل قبولی برای این نتیجه‌گیری می‌باشد.

- تغییرات S1+S2 در برابر TOC نشان می‌دهند پتانسیل پائین و بالا از هر دو پارامتر فوق دارای پتانسیل ضعیف تا بسیار خوب است. این امر به احتمال زیاد به دلیل تغییر شرایط محیط رسوب‌گذاری در زمان نهشته شدن این سازند است.

- به نظر می‌رسد مواد آلی این سازند در افق‌های پایین در ناحیه مورد مطالعه از نقطه نظر ژئوشیمیایی کاملاً وارد پنجره نفت‌زاوی شده باشند.

#### سپاسگزاری

هزینه‌های مالی انجام این پژوهش از سوی معاونت پژوهش و فناوری دانشگاه بوعالی سینا همدان در چارچوب پژوهانه به نویسنده نخست فراهم گردید. کمک‌های فراوان آقای حمزه شیرزادی خاص و خانواده محترم‌شان در هنگام بررسی‌ها و برداشت‌های صحرایی و مهمان

- Basin, Iran,N. Jb. Geol.Palaont. Abh. v. 262(1), p 59-77.
- [21] Peters, K.E (1986) Guidelines for evaluating petroleum source rock using programmed pyrolysis, AAPG Bulletin, v. 70, p. 318-329.
- [22] Stocklin, J (1968) Structural history and tectonics of Iran, American Association of Petroleum Geologists Bulletin, v. 52 (7), p. 1229-1258.
- [8] Alizadeh, B., Hosseini, S.H., Ghalavand, H (2006) Rock-Matrix Adsorption Effect on Hydrocarbon Expulsion in Masjid-e-Solieman Oilfield, SW Iran. Petroleum Geology Conference and Exhibition. 27-28 November 2006, Malaysia.
- [9] Berberian, M (1977) Contribution to the seismotectonics of Iran (part 3), Geol. Min. Surv. Iran Rep. No. 40, 300 P.
- [10] Bordenave, M. L., and Huc. A.Y (1995) The Cretaceous source rocks in the Zagros Foothills of Iran, Reve de Institut Francais du Petrole, v. 50, p. 727- 754.
- [11] Bordenave, M.L., and Burwood, R (1990) Source rockdistribution and maturation in the Zagros orogenic belt, Provenance of the Asmari and Bangestan reservoir oil accumulations, Organic geochemistry, V.16 (1-3) p. 369-378.
- [12] British Petroleum Company Ltd., (1963) Geological Map of Qasr-E-Shirin, Scale 1:250000.
- [13] Falcon, N.L (1961) Major earth- flexuring in the Zagros mountains of south- west Iran, Quaterly Journal of the Geological Society, v. 117, p. 367-376.
- [14] Huang, D.F., Liu, B., Wang, Y., Xuschen, P. and Zhao, M (1999) Genetic type and maturity of lowwer Paleozoic marine hydrocarbon gases in the eastern Tarim Basin. Chemical Geology, v. 162, p. 65-77.
- [15] Hunt, J.M (1996) Petroleum geochemistry and geology, 2<sup>nd</sup> ed. Freeman and Company, New York, 743 p.
- [16] Jackson, K.S., Hawkins, P.J. and Bennett, A.J.R., (1985), "Regional facies and geochemical evaluation of southern Denison Trough". APEAJ. v. 20, p. 143–158.
- [17] James, G. A., Wynd, J. G (1965) Stratigraphic nomenclature of Iranian oil consortium agreement area, AAPG Bulletin, v. 49, p. 2182-2245.
- [18] Jones, R.W (1987) Organic facies, In: Brooks, J., Welte, D. (Eds.), Advances in petroleum geochemistry, Academic Press, New York, p. 1-90.
- [19] Langford, F.F., Blanc-Valleron, M.M (1990) Interpreting Rock-Eval pyrolysis data using graphs of pyrolyzable hydrocarbons vs. Total organic Carbon., AAPG Bulletin, v.47, (6), p.799-840.
- [20] Mohseni, H., Behbahani, R., Khodabakhsh. S., and Atashmard, Z (2011) Depositional environments and trace fossil assemblages in the Pabdeh Formation (Paleogene), Zagros